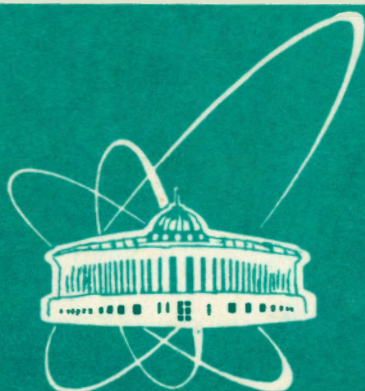


93-276



сообщения  
объединенного  
института  
ядерных  
исследований  
дубна

P2-93-276

С.Н.Алексеев, Н.С.Шавохина

ОТКЛОНЕНИЕ ЛУЧА СВЕТА  
В ТЕОРИИ ТЯГОТЕНИЯ  
С ФОНОВОЙ СВЯЗНОСТЬЮ ЛОБАЧЕВСКОГО

1993

В релятивистской теории тяготения с фоновой аффинной связностью, разработанной Н.А.Черниковым [1-4], уравнения Эйнштейна

$$R_{ae} - \frac{1}{2} R g_{ae} = 8\pi\gamma M_{ae}$$

заменяются на уравнения

$$S_{ae} - \frac{1}{2} S_{mn} g^{mn} g_{ae} = 8\pi\gamma M_{ae}, \quad (1)$$

$$S_{ae} = R_{ae} + \frac{1}{2} (\check{R}_{ae} + \check{R}_{ea}),$$

где  $R_{ae}$  - тензор Риччи для полевой связности  $\Gamma_{mn}^a$ , совпадающей с символами Кристоффеля для полевого тензора  $g_{ab}$ ,  $\check{R}_{ae}$  - тензор Риччи для фоновой связности  $\check{\Gamma}_{mn}^a$ , задаваемой независимо от тензора  $g_{ae}$ , исходя из физических соображений,  $M_{ae}$  - тензор массы, отличающийся от тензора энергии-импульса материи только множителем  $c^{-2}$ . Движение луча света мимо источника гравитационного поля рассматривается в области, где  $M_{ae} = 0$ . В этом случае уравнения (1) принимают вид

$$R_{ae} = \check{R}_{ae}. \quad (2)$$

Сферически симметричное статическое поле тяготения с фоновой связностью Лобачевского в координатах  $\rho, \theta, \varphi, t$ , где  $\rho, \theta, \varphi$  - обычные сферические координаты, а  $t$  - время, задается четырьмя векторами Киллинга

$$\begin{aligned} \xi_1^a &= \left\{ \xi_1^a \right\} = \{0, -\sin\varphi, -\cos\varphi \operatorname{ctg}\theta, 0\}, \\ \xi_2^a &= \left\{ \xi_2^a \right\} = \{0, \cos\varphi, -\sin\varphi \operatorname{ctg}\theta, 0\}, \\ \xi_3^a &= \left\{ \xi_3^a \right\} = \{0, 0, 1, 0\}, \\ \xi_4^a &= \left\{ \xi_4^a \right\} = \{0, 0, 0, 1\}; \end{aligned} \quad (3)$$

полевой метрикой

$$ds^2 = g_{ae} dx^a dx^e = F^2 d\rho^2 + H^2 d\Omega^2 - V^2 dt^2, \quad (4)$$

где функции  $F, H, V$  зависят только от координаты  $\rho$ , переходящей при больших значениях  $\rho$  в метрику

$$d\check{s}^2 = d\rho^2 + k^2 \operatorname{sh}^2 \frac{\rho}{\kappa} d\Omega^2 - c^2 dt^2; \quad (5)$$

фоновой связностью  $\check{\Gamma}_{mn}^a$ , определяемой метрикой (5); а также условием, что в центре сферических координат находится притягивающая масса  $m$ . Если  $m=0$ , то метрика (4) совпадает с метрикой (5), так что метрика (5) является тривиальным решением уравнения (2). В формуле (5)  $c$  - скорость света,  $\kappa$  - константа Лобачевского для видимого мира,

$$d\Omega^2 = d\theta^2 + \sin^2\theta d\varphi^2, \quad (6)$$

-сферическая метрика,

$$d\rho^2 + k^2 \operatorname{sh}^2 \frac{\rho}{\kappa} d\Omega^2 \quad (7)$$

- метрика Лобачевского в сферических координатах  $\rho, \theta, \varphi$ . В координатах  $\rho, \theta, \varphi, t$  отличные от нуля компоненты фоновой связности равны

$$\check{\Gamma}_{22}^1 = -k \operatorname{sh} \frac{\rho}{\kappa} \operatorname{ch} \frac{\rho}{\kappa}, \quad \check{\Gamma}_{33}^1 = \check{\Gamma}_{22}^1 \sin^2\theta, \quad (8)$$

$$\check{\Gamma}_{12}^2 = k^{-1} \operatorname{cth} \frac{\rho}{\kappa} = \check{\Gamma}_{21}^2, \quad \check{\Gamma}_{33}^2 = -\sin\theta \cos\theta,$$

$$\check{\Gamma}_{13}^3 = k^{-1} \operatorname{cth} \frac{\rho}{\kappa} = \check{\Gamma}_{31}^3, \quad \check{\Gamma}_{23}^3 = \operatorname{cth}\theta = \check{\Gamma}_{32}^3,$$

а отличные от нуля компоненты тензора Риччи  $\check{R}_{ae}$  равны

$$\check{R}_{11} = -2\kappa^{-2}, \quad \check{R}_{22} = -2 \operatorname{sh}^{-2}\theta, \quad \check{R}_{33} = \check{R}_{22} \sin^2\theta. \quad (9)$$

Отметим, что и фоновая связность (8), и тензор Риччи (9) не зависят от скорости света  $c$ . По фоновой связности (8) метрика

определяется неоднозначно, и только условие совпадения метрики (5) с полевой метрикой в отсутствие гравитации определяет константу  $c$  как скорость света <sup>6-8/</sup>.

Решение задачи Шварцшильда для уравнения (2) найдено в работе <sup>8/</sup> в виде (4), где

$$F V = c, \quad (10)$$

$$F^2 = e^{-2\alpha} \frac{\text{sh}(\xi + \alpha)}{\text{sh}(\xi - \alpha)}, \quad \xi = \frac{r}{k}, \quad (11)$$

$$H = k e^{-\alpha} \text{sh}(\xi + \alpha), \quad (12)$$

$$\frac{1}{2} \text{sh} 2\alpha = \frac{\gamma m}{k c^2}, \quad (13)$$

$\rho_0 = \gamma m c^{-2}$  - гравитационный радиус массы  $m$ .

Движение пробных частиц в теории тяготения с фоновой связностью Лобачевского совершается по геодезическим линиям пространства с полевой метрикой. Уравнения геодезических запишем в виде

$$\frac{dx^a}{d\eta} = p^a, \quad \frac{dp^a}{d\eta} = -\Gamma_{mn}^a p^m p^n, \quad (14)$$

где компоненты полевой связности совпадают с символами Кристоффеля

$$\Gamma_{mn}^a = \frac{1}{2} g^{ab} (\partial_n g_{mb} + \partial_m g_{bn} - \partial_b g_{mn}) \quad (15)$$

для полевой метрики,  $p^a$  - компоненты четырехимпульса частицы. Уравнения геодезических в форме (14) пригодны как для массивных, так и для безмассовых частиц. В случае массивной частицы дифференциал  $d\eta$  равен отношению дифференциала  $d\tau$  собственного времени пробной частицы к ее массе  $m_0$ . В случае безмассовой частицы  $m_0 = 0$ , но и  $d\tau = 0$ , отношение же  $d\tau/m_0$  конечно и равняется  $d\eta$ . Размерность параметра  $\eta$  равна [сек г<sup>-1</sup>].

Отличные от нуля компоненты полевой связности (15) для метрики (4) равны

$$\Gamma_{44}^4 = \Gamma_{41}^4 = V^{-1} \frac{dV}{d\rho}, \quad \Gamma_{44}^1 = F^{-2} V \frac{dV}{d\rho},$$

$$\Gamma_{11}^1 = F^{-1} \frac{dF}{d\rho}, \quad \Gamma_{22}^1 = -F^{-2} H \frac{dH}{d\rho}, \quad \Gamma_{33}^1 = \Gamma_{22}^1 \sin^2 \theta, \quad (16)$$

$$\Gamma_{12}^2 = \Gamma_{21}^2 = H^{-1} \frac{dH}{d\rho}, \quad \Gamma_{33}^2 = -\sin \theta \cos \theta,$$

$$\Gamma_{13}^3 = \Gamma_{31}^3 = H^{-1} \frac{dH}{d\rho}, \quad \Gamma_{23}^3 = \Gamma_{32}^3 = \text{ctg} \theta.$$

Из соображений симметрии движение пробной частицы достаточно рассмотреть в экваториальной плоскости

$$\theta = \frac{\pi}{2}. \quad (17)$$

Система (14) со связностью (16) при условии (17) имеет следующие первые интегралы:

$$1) F^2 \left( \frac{d\rho}{d\eta} \right)^2 + \left( \frac{d\varphi}{d\eta} \right)^2 - V^2 \left( \frac{dt}{d\eta} \right)^2 = -m_0^2 c^2, \quad (18)$$

$$2) \left( \frac{V}{c} \right)^2 \frac{dt}{m_0 d\eta} = \varepsilon \quad (19)$$

- интеграл удельной энергии, деленный на скорость света в квадрате,

$$3) H^2 \frac{d\varphi}{m_0 d\eta} = \mu \quad (20)$$

- интеграл удельного момента.

Подставляя (17), (19) и (20) в (18), получаем дифференциальное уравнение

$$\mu^2 \left( \frac{d\rho}{d\varphi} \right)^2 = \varepsilon^2 c^2 H^4 - V^2 H^4 - \left( \frac{\mu V H}{c} \right)^2 \quad (21)$$

для траектории  $\rho = \rho(\varphi)$ . Подставляя сюда (10) - (13), получаем окончательно следующее уравнение:

$$\begin{aligned} \mu^2 \left( \frac{d\rho}{d\varphi} \right)^2 = & \varepsilon^2 c^2 P^4 \operatorname{sh}^4(\xi + \alpha) - \\ & - c^2 P^2 k^4 \operatorname{sh}(\xi - \alpha) \operatorname{sh}^3(\xi + \alpha) - \\ & - \mu^2 k^2 \operatorname{sh}(\xi - \alpha) \operatorname{sh}(\xi + \alpha), \end{aligned} \quad (22)$$

где

$$P = e^{-\alpha}. \quad (23)$$

Уравнение (22) впервые получено в работе /8/. В пределе оно переходит в известное уравнение

$$\begin{aligned} \mu^2 \left( \frac{d\rho}{d\varphi} \right)^2 = & \varepsilon^2 c^2 (\rho + \rho_0)^4 - \\ & - c^2 (\rho - \rho_0)(\rho + \rho_0)^3 - \mu^2 (\rho - \rho_0)(\rho + \rho_0) \end{aligned} \quad (24)$$

движения пробной частицы в поле Шварцшильда /9/,  $\rho_0 = \frac{\gamma m}{c^2}$  совпадает с гравитационным радиусом Солнца.

Если ввести новую переменную

$$u = \frac{1}{k} \operatorname{cth} \xi, \quad (25)$$

то после ряда преобразований уравнение (22) приведет к следующему виду:

$$\begin{aligned} \left( \frac{du}{d\varphi} \right)^2 = & \operatorname{ch}^4 \alpha \{ A_0 + A_1 u + A_2 u^2 + \\ & + A_3 u^3 + A_4 u^4 \}, \end{aligned} \quad (26)$$

где

$$\begin{aligned} A_0 = & (\varepsilon^2 P^2 - 1) c^2 P^2 \mu^{-2} + k^{-2} - k^{-4} \beta^2, \\ A_1 = & 2(2\varepsilon^2 P^2 - 1) c^2 P^2 \mu^{-2} \beta, \\ A_2 = & -1 + 6\varepsilon^2 P^2 \mu^{-2} c^2 \beta^2 + k^4 \beta^4, \\ A_3 = & 2(2\varepsilon^2 P^2 + 1) c^2 P^2 \mu^{-2} \beta^3, \\ A_4 = & (\varepsilon^2 P^2 + 1) c^2 P^2 \mu^{-2} \beta^4 + \beta^2 - k^2 \beta^4. \end{aligned} \quad (27)$$

В свою очередь

$$\beta = k \operatorname{th} \alpha. \quad (28)$$

Уравнение (26) получено в работе (12).

В пределе  $k \rightarrow \infty$  уравнение (26) переходит в уравнение

$$\begin{aligned} \left( \frac{du}{d\varphi} \right)^2 = & (\varepsilon^2 - 1) c^2 \mu^{-2} + 2(2\varepsilon^2 - 1) c^2 \mu^{-2} \rho_0 u + \\ & + (6\varepsilon^2 \mu^{-2} c^2 \rho_0^2 - 1) u^2 + 2(2\varepsilon^2 + 1) c^2 \mu^{-2} \rho_0^3 u^3 + \\ & + [1 + (\varepsilon^2 + 1) c^2 \mu^{-2} \rho_0^2] \rho_0^2 u^4 \end{aligned} \quad (29)$$

для траектории пробной частицы в поле Шварцшильда. В (29)

$$u = \rho^{-1}.$$

Луч света распространяется вдоль нулевой геодезической. Для фотона  $m_0^2 = 0$ , в силу чего правая часть интеграла (18) обращается в нуль. Удельная энергия  $\varepsilon$  и удельный момент  $\mu$  из (19) и (20) становятся бесконечно большими, отношение же их, равное

$$\frac{\mu}{\varepsilon} = \frac{H^2 c^2}{V^2} \frac{d\varphi}{dt}, \quad (30)$$

будет конечным. Обозначим

$$\lim_{m_0 \rightarrow 0} \frac{M}{\epsilon} = c\beta, \quad (31)$$

где постоянная  $\epsilon$  имеет размерность длины и ее можно интерпретировать как прицельное расстояние фотона <sup>/9/</sup>. С учетом (30) и (31) формула (22) примет вид

$$\left(\frac{d\rho}{d\varphi}\right)^2 = \frac{\rho^4 \kappa^4}{\epsilon^2} \operatorname{sh}^4(\xi + \alpha) - \kappa^2 \operatorname{sh}(\xi - \alpha) \operatorname{sh}(\xi + \alpha). \quad (32)$$

Преобразует это выражение к виду

$$\left(\frac{du}{d\varphi}\right)^2 = \kappa^4 \operatorname{sh}^4 \xi \operatorname{ch}^4 \alpha \left\{ \frac{\rho^4}{\epsilon^2} (1 + \operatorname{cth} \xi \operatorname{th} \alpha)^4 - \right. \\ \left. - \frac{1}{\kappa^2} (1 - \operatorname{th}^2 \alpha) (\operatorname{ch}^2 \xi - 1) (1 - \operatorname{cth}^2 \xi \operatorname{th}^2 \alpha) \right\}. \quad (33)$$

Корень  $\tilde{\rho}$  уравнения

$$1 + \operatorname{cth} \frac{\rho}{\kappa} \operatorname{th} \alpha = 0 \quad (34)$$

является также решением  $\rho = \tilde{\rho}$  уравнения (33).

Вводя обозначение (28) и делая замену (25), уравнение (34) приведем к виду

$$\left(\frac{du}{d\varphi}\right)^2 = \operatorname{ch}^4 \alpha \left\{ \frac{\rho^4}{\epsilon^2} (1 + \beta u)^4 - \right. \\ \left. - \frac{1}{\kappa^2} \left(1 - \frac{\beta^2}{\kappa^2}\right) (\kappa^2 u^2 - 1) (1 - \beta^2 u^2) \right\}. \quad (35)$$

Очевидно, что  $u = u_0 = -\frac{1}{\beta}$  является решением этого уравнения и корнем полинома  $\mathcal{P}_4(u) = f(u)$ , в его правой части.

Запишем уравнение (35) в следующем виде:

$$\left(\frac{du}{d\varphi}\right)^2 = \operatorname{ch}^4 \alpha \{ A_0 + A_1 u + A_2 u^2 + A_3 u^3 + A_4 u^4 \}, \quad (36)$$

где

$$A_0 = \frac{\rho^4}{\epsilon^2} + \frac{1}{\kappa^2} - \frac{\beta^2}{\kappa^4}, \\ A_1 = \frac{4\beta \rho^4}{\epsilon^2}, \\ A_2 = -1 + \frac{\beta^4}{\kappa^4} - \frac{6\beta^2 \rho^4}{\epsilon}, \\ A_3 = \frac{4\beta^3 \rho^4}{\epsilon^2}, \\ A_4 = \frac{\rho^4}{\epsilon^2} + \beta^4 - \frac{\beta^4}{\kappa^2}. \quad (37)$$

Для фотонов в поле Солнца  $A_2 < 0$ . Сравним уравнение (36) для траектории фотона с общим уравнением для траектории пробной частицы (26). Оба эти уравнения имеют решение  $u = -\frac{1}{\beta}$ , поскольку  $u = u_0 = -\frac{1}{\beta}$  является корнем соответствующих полиномов 4-ой степени, стоящих в их правых частях. Существование корня  $u_0 = -\frac{1}{\beta}$  позволяет свести зависимость  $u$  от  $\varphi$  к эллиптическим функциям <sup>/II-12/</sup>. Действительно, для уравнений (36), а также и уравнения (26) можно записать

$$\operatorname{ch}^2 \alpha \varphi = \int_{u_0}^u f(t)^{-\frac{1}{2}} dt,$$

где  $u_0 = -\frac{1}{\beta}$ , а функция  $f(t)$  равна

$$A_0 + A_1 t + A_2 t^2 + A_3 t^3 + A_4 t^4.$$

Отсюда можно получить после ряда преобразований явную зависимость  $u$  от  $\varphi$  /10/ в виде

$$u = -\frac{1}{\beta} + \frac{1}{4} f\left(-\frac{1}{\beta}\right)' \left\{ \mathcal{R}(ch^2 \alpha \varphi, g_1, g_2) - \frac{1}{24} f''\left(-\frac{1}{\beta}\right) \right\}^{-1}$$

где  $\mathcal{R}(z, g_1, g_2)$  - эллиптическая функция Вейерштрасса, удовлетворяющая уравнению

$$\left(\frac{d\mathcal{R}(z)}{dz}\right)^2 = 4\mathcal{R}^3(z) - g_2\mathcal{R}(z) - g_3.$$

Здесь инварианты  $g_2$  и  $g_3$  равны соответственно

$$g_2 = A_0 A_4 - \frac{1}{4} A_2 A_3 + \frac{1}{12} A_2^2,$$

$$g_3 = \frac{1}{6} A_0 A_2 A_4 + \frac{1}{48} A_2 A_3^2 - \frac{1}{216} A_2^3 - \frac{1}{16} A_1^2 A_4 - \frac{1}{16} A_0 A_3^2.$$

Знание точного решения уравнения (36) позволяет с любой наперед заданной точностью определить теоретическое значение отклонения луча света, проходящего мимо Солнца. Заметим, что всё сказанное относится также к уравнению (26) и к определению теоретического значения смещения перигелия Меркурия в теории тяготения с фоновой связностью Лобачевского.

Для упрощения расчета отклонения луча света в статическом сферически симметричном гравитационном поле в теории тяготения с фоновой связностью Лобачевского сделаем те же приближения, что и в общей теории относительности в аналогичном случае /9/. В результате из (36) получим следующее приближенное уравнение для траектории фотона

$$\left(\frac{du}{d\varphi}\right)^2 = ch^4 \alpha \left\{ B_0 + B_1 u + B_2 u^2 \right\}, \quad (38)$$

где

$$B_0 = A_0, \quad B_1 = A_1, \quad B_2 = -1 + \frac{\beta_4}{\kappa^4}. \quad (39)$$

Решение уравнения (38) имеет вид

$$u = \frac{1 + e \cos v \varphi}{\rho}, \quad (40)$$

где

$$\begin{aligned} \rho &= -2 B_2 / B_1, \\ e &= \sqrt{1 + 2\rho B_0 / B_1}, \\ v &= ch^2 \alpha \sqrt{-B_2}. \end{aligned} \quad (41)$$

Для фотонов в поле Солнца  $B_2 < 0$ .

Лобачевский полагал, что постоянная  $\kappa$  не меньше расстояния до ближайшей звезды. Приблизительно имеем  $\kappa > 10^{14}$  км. Из (39) и (41) с очевидностью следует, что при таких значениях  $e > 1$ . Следовательно, коническое сечение, задаваемое формулой (40), является гиперболой.

Пренебрегая в (38) и (39) членами, содержащими отрицательные степени  $\kappa$ , получим известное решение для траектории луча света в поле Шварцшильда /9/

$$u = \frac{2\rho_0}{\rho^2} + \frac{1}{\rho} \cos \varphi, \quad (42)$$

где  $\rho_0$ , как и раньше в формуле (24), совпадает с гравитационным радиусом Солнца, равным  $\frac{2m}{c^2} \approx 1,5$  км. При больших  $\kappa$  из (41) получаем для  $\rho$ ,  $e$  и  $v$  их значения в общей теории относительности

$$\rho = \frac{\rho^2}{2\rho_0}, \quad e = \frac{\rho}{2\rho_0}, \quad v = 1. \quad (43)$$

Фокальный параметр  $\rho$ , эксцентриситет  $e$  и частота  $v$  из (41) отличаются малыми поправками, зависящими от  $\kappa$ , от соответствующих величин в (43). С точностью до величин  $O\left(\frac{1}{\kappa}\right)$  они равны

$$p = \frac{b^2}{2\rho_0} \left( 1 + \frac{4\rho_0}{\kappa} + O\left(\frac{1}{\kappa}\right) \right),$$

$$e = \frac{b}{2\rho_0} \left( 1 + \frac{2\rho_0}{\kappa} + O\left(\frac{1}{\kappa}\right) \right), \quad \nu = 1 + O\left(\frac{1}{\kappa}\right). \quad (44)$$

Гипербола

$$\frac{1}{u} = \frac{p}{1 + e \cos \nu \varphi} \quad (45)$$

имеет угол между асимптотами, мало отличающийся от  $2\pi$ . В ближайшем к траектории фокусе расположено Солнце. Направление асимптот определяется из условия  $u = 0$ . Это означает, что

$$\cos \nu \varphi = -\frac{1}{e}, \quad (46)$$

где  $\nu$  и  $e$  берутся из (44). Поскольку  $b$  велико, то  $1/e$  мало, и для предельного значения угла  $\varphi$  имеем два значения

$$\varphi = \frac{\pi}{2} + \delta, \quad \varphi = -\frac{\pi}{2} - \delta. \quad (47)$$

В свою очередь величину  $\delta$  можно положить равной

$$\delta = \frac{1}{e}, \quad (48)$$

а искомое отклонение луча света становится равным

$$2\delta = \frac{2}{e} = \frac{4\rho_0}{b} \left( 1 - \frac{2\rho_0}{\kappa} + O\left(\frac{1}{\kappa}\right) \right). \quad (49)$$

Эффект отклонения луча света должен приводить к искажению видимой картины звездного неба, когда между наблюдателем с Земли и звездами расположено Солнце. Эффект отклонения луча можно наблюдать только при полном солнечном затмении. Обработка данных наблюдений затмения 1952 года дает значение для отклонения  $2\delta_0$ , равное

$$2\delta_0 = 1'',70. \quad (50)$$

Теоретическое же значение отклонения луча света в общей теории относительности по формуле Эйнштейна [13]

$$2\delta = \frac{4\rho_0}{b}$$

равно

$$2\delta = 1''75 = 8,488 \cdot 10^{-6} \text{ рад.}$$

В заключение авторы считают своим долгом поблагодарить профессора Н.А.Черникова за предложенную им тему для этой статьи и постоянное внимание к работе.

#### Литература

1. Черников Н.А. - ЭЧАЯ, том, 18, вып.6, 1987, с.1000.
2. Черников Н.А. - Сообщение ОИЯИ P2-90-399, Дубна, 1990.
3. Chernikov N.A. - Acta Physica Polonica B, 1992, vol.23, No 2, p. 115-122.
4. Черников Н.А. - Сообщение ОИЯИ P2-92-108, Дубна, 1992.
5. Петров А.З. - Новые методы в общей теории относительности. М.: Наука, 1966.
6. Черников Н.А. - Сообщение ОИЯИ P2-92-192, Дубна, 1992.
7. Черников Н.А. - Препринты ОИЯИ P2-92-443, P2-92-549, Дубна, 1992. (Направлено в Труды Международной конференции "Лобачевский и современная геометрия", Казань, 1992 г.).
8. Chernikov N.A. - Acta Physica Polonica B, 1992, vol. 23, No 12, p. 1-24.
9. Фок В.А. - Теория пространства-времени и тяготения. М.: ГИФМЛ, 1961.

10. Уиттекер Е.Т., Ватсон Г.Н. - Курс современного анализа.  
М.-Л.:
11. Гурвиц А., Курант Р. - Теория функций. М.: Наука, 1968.
12. Алексеев С.Н., Шапкина Н.С. - Сообщение ОИЯИ  
Р2-93-263, Дубна, 1993.
13. Einstein A. - Ann. of Phys., v.49, 769, 1916.

Рукопись поступила в издательский отдел  
19 июля 1993 года.